

Branko PROKOP
mag., dipl.gradb.inž., Gradbeni inštitut ZRMK, Ljubljana

UPORABA JET-GROUTING TEHNOLOGIJE PRI IZVEDBI MASIVNE PODPORNE KONSTRUKCIJE

POVZETEK: V praksi se stabilizirana zemljina po postopku JET GROUTING pogosto upošteva samo kot kompozit zemljina-injekcijska masa z izboljšanimi mehansko fizikalnimi karakteristikami.

Z ustreznim razporeditvijo injekcijskih vrtin, armiranjem jader pilotov, nastalih z injektiranjem, in njihovim povezovanjem lahko ustvarimo v zemljini močne podporne konstrukcije.

THE USE OF JET-GROUTING IN THE CONSTRUCTION OF A RETAINING WALL

SUMMARY: Jet grouting is most frequently used to stabilize ground so that it becomes a composite mixture of soil and grout, with improved mechanical-physical properties.

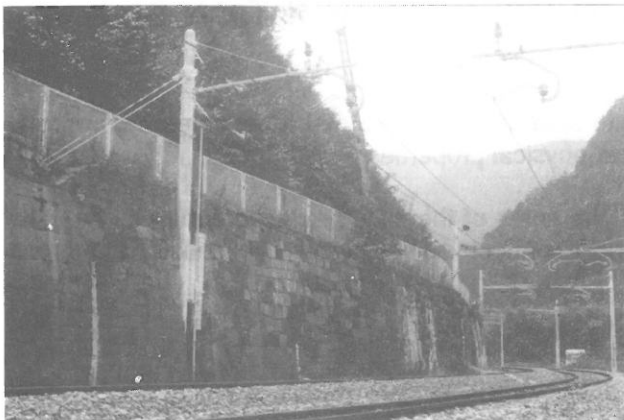
If, however, the bore-holes are suitably arranged, the cores of the piles produced during jet grouting are reinforced, and the piles are suitably structurally connected, it is possible to construct a strong retaining wall in the ground.

SPLOŠNO

Na odseku od km 511,170 - 511,330, med Rimskimi Toplicami in Laškim poteka železniška proga Zidani Most - Šentilj delno v nasipu večinoma pa v mešanem profilu. Nasip je prislonjen k vznožju srednje strmega do zelo strmega pobočja. Na pobočni strani je bila zaledna brežina varovana s kamnitim zidom višine 4,0 - 4,5 m.

Zid je bil zidan iz trdnega, zdravega, gosto zloženega kamna v apneni mali. Poškodbe na zidu so bile vidne v obliki manjših in večjih razpok, izrivanja posameznih kamnitih blokov in trebušenja zidu, tako da je ta že pritiskal na drogove elektrovodne vozne mreže (sliki 1 in 2).

Nad progo, tik za zidom, poteka lokalna cesta Rimske Toplice - Laško. Cesta je makadamska in je bila brez odprtih kanalet ali zaprtih drenaž za odvod površinske vode. Na pobočni strani je cesta varovana z nizkim, približno 1,5 m visokim zidom.



Slika 1. Pogled na star kamnit zid.



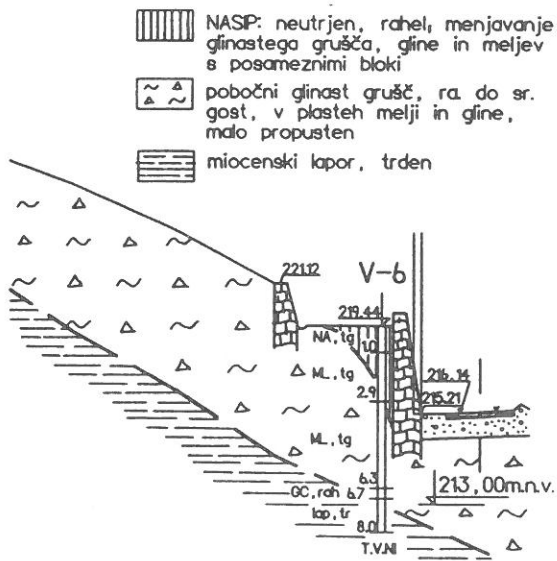
Slika 2. Večja razpoka v kamnitem zidu.

GEOLOŠKO-GEOMEHANSKE RAZMERE

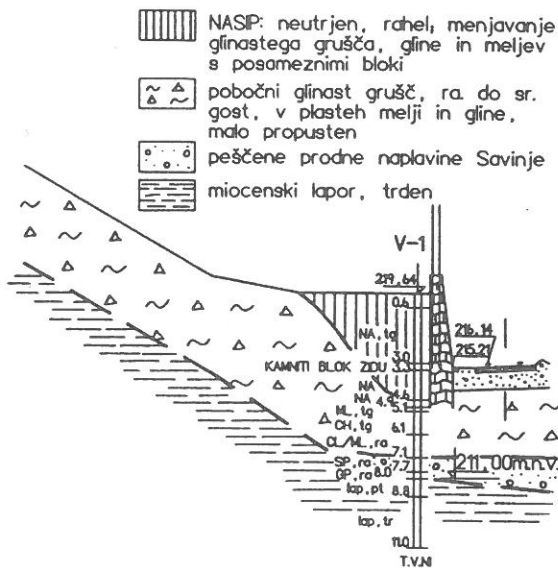
Na ožjem raziskanem območju je geološka zgradba terena naslednja:

- Trdno podlago gradi na celotnem območju siv miocenski lapor, trden, nejasno plastovit, s prehodi v meljevec. Trdna laporna podlaga pada strmo v smeri proti strugi Savinje. Nagib pobočja nad cesto je približno enak naklonu trdne laporne podlage. Trdna podlaga se na mestu opornega zidu ne pojavlja na enaki globini, temveč sledi konfiguraciji terena. V osrednjem delu z zidom varovanega pobočja (med km 511,210 - 511,290) se podlaga dvigne na koto 214 - 215,5 m n.v., v začetnem in končnem delu zidu pa se poglobi na koto 213 oz. 211 m n.v. (sliki 3 in 4).
- Na trdni laporni podlagi ležijo v ravninskem delu pod progo mladi, slabo uležani sedimenti Savinje, ki se v območju km 511,300 - 511,340, to je na koncu zidu v smeri proti Laškemu, pojavljajo tudi v neposrednem vplivnem območju zidu.
- Na pobočju je trdna laporna podlaga prekrita z 0,5 m (strmo pobočje v osrednjem delu) do 4,3 m (položno in srednje strmo pobočje na začetnem in končnem delu) debelim pokrovom, ki ga gradijo melji, gline in glinasto gruščnate preperine laporja v težko gnetni konsistenci oz. srednje gosti sestavi.
- Na cesti je za zidom izveden zasip po celotni dolžini zidu. Materiali v zasipu za zidom so rahli do zelo rahli, neuležani, po sestavi zelo heterogeni, prevladujejo glineno meljne in glinasto gruščnate zemljine.

- Talna voda se v vplivnem območju zidu ne pojavlja. Zaradi širokega zbirnega zaledja, vode v obliki solzajev oz. kot pobočne precedne vode gravitirajo proti Savinji po nekoliko propustnejši preperini nad nepropustno laporno podlago.



Slika 3. Prečni geološki profil P1-začetek zidu



Slika 4. Prečni geološki profil P2-konec zidu.

IZVEDENE ANALIZE

V stabilnostnih analizah in analizah zemeljskih pritiskov smo upoštevali fizikalno mehanske karakteristike temeljnih tal dobljenih iz rezultatov terenskih in laboratorijskih preiskav:

Trdna, predkvarternata skalna podlaga

- vrsta hribine: miocenski lapor,
- prostorninska teža: $\gamma = 23.0 - 24.0 \text{ kN/m}^3$,
- enoosna tlačna trdnost: $q = 10.0 \text{ MN/m}^2$,
- modul stisljivosti: praktično nestisljiv,
- modul elastičnosti: $E = 1000 \times 10^4 \text{ MN/m}^2$,
- obstojnost: slabo obstojen v odprtih brežinah, prepereva.

Preperel lapor, poltrden - trden

- prostorninska teža: $\gamma = 21.0 - 23.0 \text{ kN/m}^3$,
- enoosna tlačna trdnost: $q = 5.0 \text{ MN/m}^2$,
- modul stisljivosti: praktično nestisljiv,
- obstojnost: neobstojen v odprtih brežinah tudi v kratkih časovnih obdobjih.

Preperinski pokrov nad laporno podlago - pobočni glinasti in glineno- gruščnati materiali

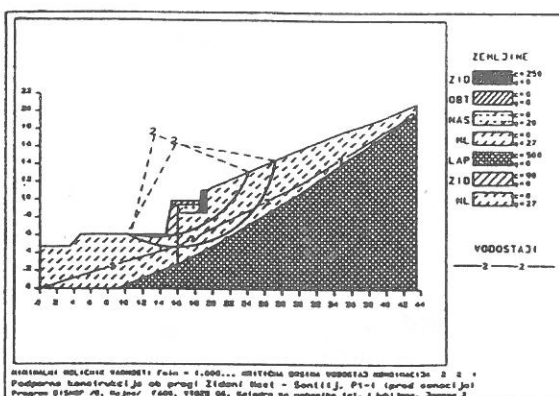
- vrsta zemljine: -GC-ML/CL- meljnopeščen in glinast grušč, s plastmi težkognetnega melja in vložki gline,
- prostorninska teža: $\gamma = 19.0 \text{ do } 20.0 \text{ kN/m}^3$,
- strižna trdnost: $\gamma_d = 15 - 17 \text{ kN/m}^3$,
- strižna trdnost: $\varphi = 25^\circ - 27^\circ; c = 0.0 \text{ kN/m}^2$,

- modul stisljivosti: $M_v = 10 \text{ MN/m}^2$.

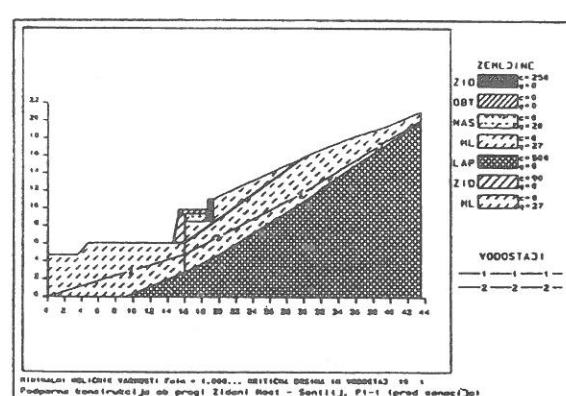
Zasip za zidom

- vrste zemljin: melnje gline in melji v srednje do težko gnetni konsistenci, glinasti grušči v zelo rahlem do rahlem stanju, porozni, glinasto vezivo vlažno,
- karakteristike zemljin za zidom: $\gamma = 17.0 - 18.0 \text{ kN/m}^3$,
 $\phi = 18^\circ - 20^\circ ; c=0.0 \text{ kN/m}^2$.

Preverjena je bila ustreznost izbranih strižnih karakteristik za vrhnji preperinski sloj [3]. Izvedene stabilnostne analize po postopkih Bishopa za krožne in Janbuja za poligonalne drsine dokazujojo, da je $\phi=27^\circ$ ob nični koheziji ustrezna vrednost. Obe analizi dajeta za kritično drsino varnosti $F=1.008$ (sliki 5 in 6), kar ustreza stanju na terenu, saj je zaradi poškodb zidu bilo očitno, da je pobočje bilo v stanju mejnega ravnotežja.



Slika 5. Kritična krožna drsina po Bishopu.



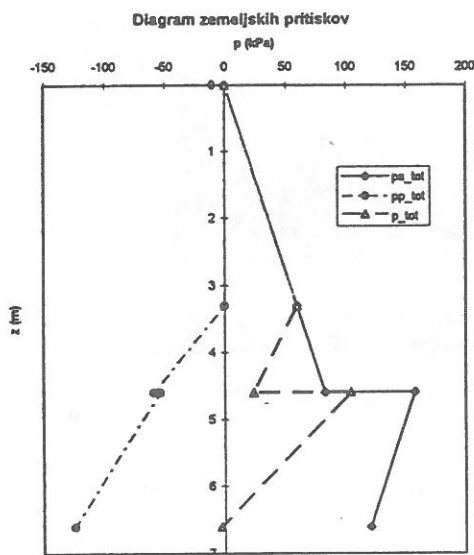
Slika 6. Kritična poligonalna drsina po Janbuju.

Za statično presojo podporne konstrukcije je bilo potrebno najprej določiti silo zemeljskih pritiskov nanj. Ker je bil v konkretnem primeru naklon pobočja ($\beta= 22^\circ$) večji od mobiliziranega strižnega kota zemljine ($\phi_m= 21.4^\circ$) pri varnosti $F= 1.3$, so bili zemeljski pritiski izračunani po metodi ekstrema [4]. Izračun je bil opravljen s pomočjo računalniškega programa ZEMPRI [5].

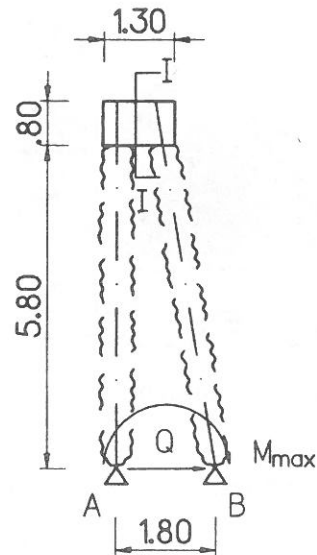
Izbrana podpora konstrukcija, zgrajena iz armiranih JET GROUTING pilotov, povezanimi z močno AB vezjo in AB oblogo, je bila dimenzionirana na aktivne zemeljske pritiske izračunane s strižnim kotom $\phi = 27^\circ$ pri varnosti $F=1.3$ in na pasivne zemeljske pritiske izračunane s strižnim kotom $\phi = 30^\circ$ pri varnosti $F=1.5$ (slika 7).

Na privzetem statičnem modelu (slika 8) so bile potrebne sile vpetja in vse notranje količine izračunane z računalniškim programom OKVIR. Zaradi velikega konzolnega momenta ($M_{max}=718.9 \text{ kNm/m}$) smo morali tlorisno zamaknjene pilote v treh vrstah (slika 9) prečno razporediti pahljačasto (slika 10) tako, da notranja vertikalna vrsta pilotov oklepa z zunanjim kotom 10° . Seveda pa je bilo potrebno za privzeti statični model, prikazan na sliki 9, ustrezno dimenzionirati podporo A in armirano betonsko pilotno vez. Pri sidranju natezne podpore A smo upoštevali poleg enačbe trenja po plašču tudi enačbo efektivne sidrme dolžine armature. Piloti srednje vrste (pod kotom 85°) v tem izračunu niso upoštevani in predstavljajo kot polnilo med notranjimi in zunanjimi piloti dodatno varnost. Pri tlačni podpori B je bilo potrebno izkazati, da so tlačne napetosti nižje od

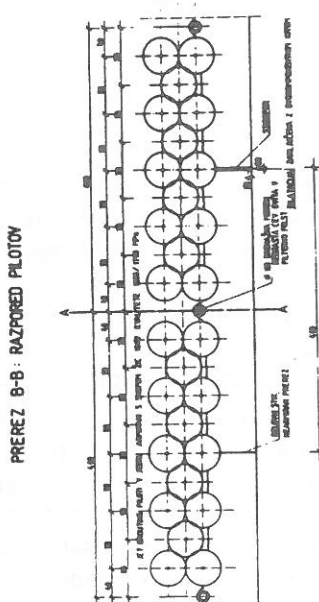
dopustnih napetosti za lapor in od zahtevane tlačne trdnosti kompozita injekcijska masa-zemljina ($\sigma_{tla} \geq 10 \text{ MPa}$).



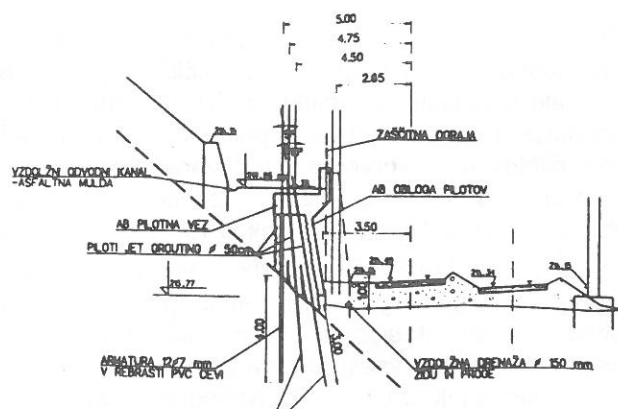
Slika 7. Diagram zemeljskih pritiskov.



Slika 8. Statični model.



Slika 9. Tlorisni razpored pilotov.

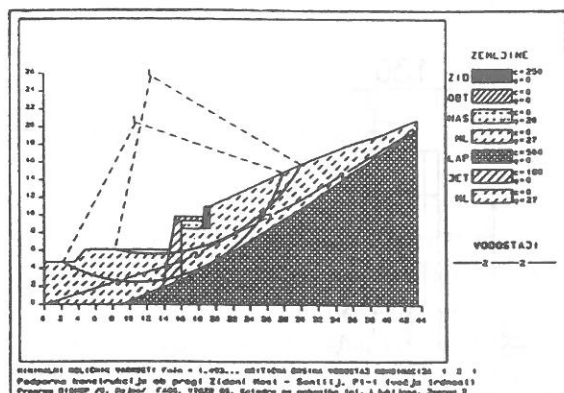


Slika 10. Karakteristični prerez podporne konstrukcije.

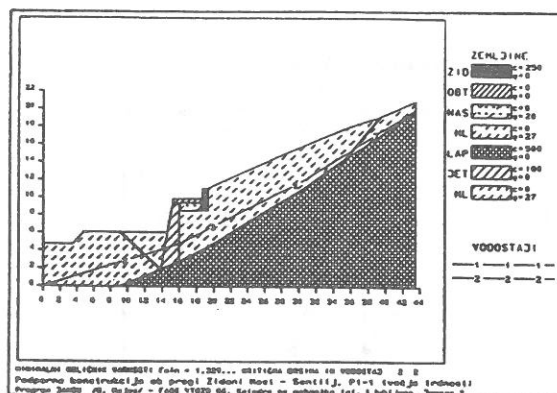
Na koncu je bila preverjena še stabilnost saniranega stanja (sliki 11 in 12).

Za izbrano gostoto pilotov premera 50cm (3kom/1.0m) je izkazana varnost globokih drsin $F \geq 1.3$ šele pri vrednosti strižne trdnosti kompozita $\tau_{komp} = 180 \text{ kPa}$. Z enoosnimi tlačnimi preiskavami valjastih

vzorcev kompozita ($\sigma_u = 13.9$ MPa), ki so bili med gradnjo redno jemani iz sveže izdelanih pilotov s cevno iglo, se je izkazalo, da dejanska kvaliteta kompozita presega projektne zahteve.



Slika 11. Analiza saniranega stanja po Bishopu.



Slika 12. Analiza saniranega stanja po Janbuju.

Nadomestna strižna trdnost materiala, ki ponazarja kompozit in zemljino je izračunana z enačbo:

$$\tau_{nad} = \left(\sum_{i=1}^n \tau_i \times A_i \right) / A ,$$

kjer pomenijo:

τ_i strižna trdnost i-tega materiala

A_i prerez i-tega materiala in

A prerez nadomestnega materiala.

IZGRADNJA PODPORNE KONSTRUKCIJE

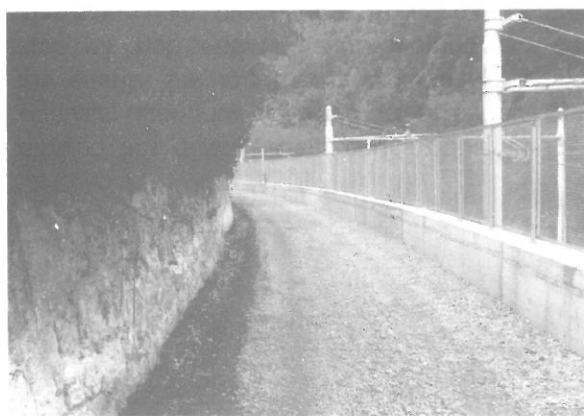
- Po ureditvi delovišča je bilo potrebno za točno izdelavo projektirane podpome konstrukcije predhodno nadvišati cesto in zakoličiti osi pilotov. Ker se dejansko stanje na terenu ni natančno ujemalo s situacijo v projektu je bil naknadno izdelan elaborat zakoličbe pilotov. Novi geodetski posnetek je pokazal, da je s projektiranim razporedom pilotov možno zakoličiti na dolžini 177m 618 pilotov in ne prvotno načrtovanih 624. Zaradi skrajšanja konstrukcije za 6 pilotov je bilo potrebno tudi ustrezno prilagoditi izdelavo zadnje kampade AB grede in obloge.
- Po uvedbi počasne vožnje vlakov (50km/h) se je najprej izvedlo v vsakem profilu pilote zunanje vrste (pod kotom 80° oz. 10° glede na vertikalno) za kontrolo globine kontakta preperine z laporjem. Na podlagi prvih izdelanih pilotov smo presodili, da je zaradi večje debeline preperine potrebno poglobiti sidranje pilotov vsaj za 1.0m. Iz varnostnih razlogov se je na kritičnih odsekih najprej izdelovalo vsak pilot na bolj stabilnih mestih, kjer zd ni bil močno poškodovan pa se je izdelovalo vsak drugi pilot, naslednjega dne pa še vmesne. Dodatno antikorozjsko zaščito armature (10φ7mm) zunanjih pilotov (pilotov prve vrste) z rebrastimi PVC cevmi in srednjih pilotov (pilotov druge vrste) se je zaradi tlacičnih obremenitev v njih opustilo medtem, ko se je zaščitilo armaturo nateznih pilotov (12φ7mm) po celotni višini. Armiranje in sidranje nateznih pilotov 4.0m v trden lapor (1.0m globlje od projektiranega vpetja) se je izvajalo po sistemu trajnih zemeljskih sider brez prednapetja. Po izdelavi zunanjih pilotov se je izdelovalo vertikalne pilote notranje vrste in na koncu še pilote srednje vrste.
- K odkopu pilotov in rušenju kamnitega zidu se je pristopilo fazno in sicer hkrati na večih mestih. Armirano betonske vezi in obloge pilotov se je izdelovalo za dve kampadi oz. lameli hkrati, to je na dolžini 8.0m. Dilatirani stiki so zapoljnjeni s 3.0cm debelim stiroporom in zafugirani z dvokomponentnim kitom, na delovnih stikih pa je nearmiran betonski prerez oslabljen za širino (do 10.0cm) opažne letve.

- Pred betonažo gred in oblage se je glave pilotov odsekalo in površino zunanjih odkopanih pilotov dobro očistilo od slabo zainjektirane zemljine, da se je zagotovil potreben sprijem in debelina armiranobetonske oblage (sliki 13 in 14).

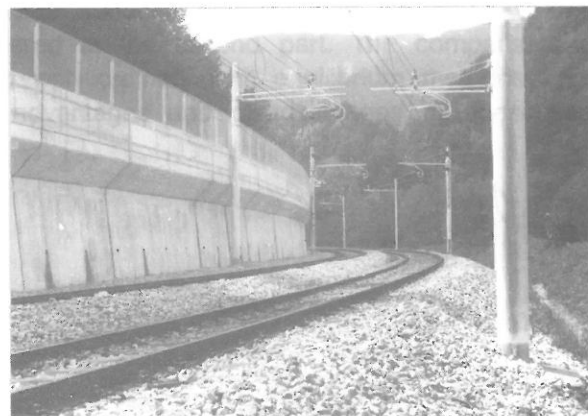


Sliki 13 in 14. Rušenje starega zidu in čiščenje površine pilotov.

Z vertikalnimi drenažnimi raudril cevmi $\phi 100\text{mm}$ in barbakanami $\phi 110\text{mm}$ (izdelanimi simetrično glede na delovne stike, v enaki višini kot so iztoki vertikalnih drenaž) je zagotovljeno vertikalno dreniranje zaledne vode v vzdolžno vkopano drenažo (raudril cev $\phi 150\text{mm}$) med pilotno steno in desnim tirom (slika 10), površinske vode pa se s ceste oddvaja po asfaltni muldi (slika 15) z minimalnim padcem proti Rimskim Toplicam skozi cevni propust $\phi 400\text{mm}$ na koncu stene in naprej po betonskih kanaletah v obstoječi železniški jarek. Zaradi možnosti izrabe vkopane vzdolžne drenaže ob progi smo poenostavili celotno odvodnjavanje, seveda pod pogojem, da se s tem ni zmanjšala njegova učinkovitost.



Slika 15. Pogled na krono novega zidu s ceste.



Slika 16. Pogled na novi zid s proge.

- Po zabetonirjanju vseh kampad zidu se je na betonski kroni zidu montiralo novo zaščitno kovinsko ograjo zaradi bližine visoko napetostnega elektrovoda desnega tira.
- Vozna površina ceste s prečnim nagibom k notranjemu robu je izdelana v makadamski izvedbi (slika 15) na skomprimiranem zasipu, površina tampona pa je zaklinjena z materialom zrnavosti $0/8\text{mm}$.

- Desni tir je bil na koncu v celoti obnoviti vključno z gramozno gredo (slika 16).

ZAKLJUČEK

Namen opisa projektirane in izvedene sanacije podporne konstrukcije, pri kateri se je star, dotrajan in močno deformiran kamnit zid zamenjalo z novo podporno konstrukcijo, zgrajeno iz armiranih JET GROUTING pilotov, povezanih z močno AB vezjo in AB oblogo, je prikazati dodatno možnost uporabe in obravnavne injektiranih zemljin po postopku JET GROUTING, to je, da z injektiranjem pod visokimi pritiski ustvarjeni kompozit zemljina-injekcijska masa lahko v določenih primerih obravnavamo tudi kot sestavni konstruktivni element trajnih AB podpornih konstrukcij. To je zelo pomembno, saj JET GROUTING tehnologija lahko v primeru, kot je opisani, ponuja za investitorja edino sprejemljivo rešitev, v številnih primerih pa kot alternativna varianta drugim tehnologijam predstavlja cenejšo in okolju bolj prijazno rešitev.

VIRI IN LITERATURA

- (1) Prokop, B. (1994). PROJEKT: Sanacija podpornega zidu proge Zidani Most - Šentilj v km 511+200/400. ZRMK Ljubljana, Ljubljana.
- (2) Petkovšek, A. (1992). POROČILO o preiskavi tal za opornim zidom na progi Zidani Most - Šentilj v km 511+170/330. ZRMK Ljubljana, Ljubljana.
- (3) Majes, B., Logar, J. (1994). POROČIL o pregledu projekta: Sanacija podpornega zidu proge Zidani Most - Šentilj v km 511+200/400. FGG Univerze v Ljubljani, Ljubljana.
- (4) Majes, B., Logar, J. (1994). Potrebne terenske, laboratorijske in numerične raziskave za uspešne, varne in ekonomične sanacije plazov. Prvo slovensko posvetovanje o zemeljskih plazovih, Idrija, Zbornik posvetovanja, str.119-128.
- (5) PULKO, B., MAJES, B., LOGAR, J. (1992). Numerični račun velikosti in razporeditve zemeljskih pritiskov v večslojnih tleh. Zbornik 6. seminarja Računalnik v gradbenem iženirstvu, 120-127, Ljubljana.